



## บทที่ 5

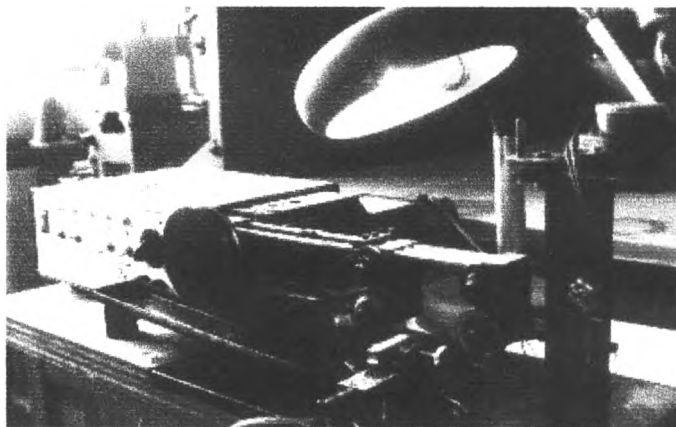
### วิธีทดลอง และผลการทดลอง

การศึกษาลักษณะเฉพาะความจุไฟฟ้า-ความต่างศักย์ของรอยต่อวิวิธพันธุ์ ZnO(Al)/CdS/CuInSe<sub>2</sub> ในงานวิจัยนี้ได้ศึกษาจากรอยต่อที่สร้างอยู่บนสารกึ่งตัวนำ CuInSe<sub>2</sub> ในรูปผลึกเอกพันธุ์ ซึ่งมีรายละเอียดของการทดลองดังต่อไปนี้

การเตรียมชั้นอุปกรณ์ที่เป็นรอยต่อวิวิธพันธุ์ ZnO(Al)/CdS/CuInSe<sub>2</sub>

#### 1. การเตรียมผลึก CuInSe<sub>2</sub>

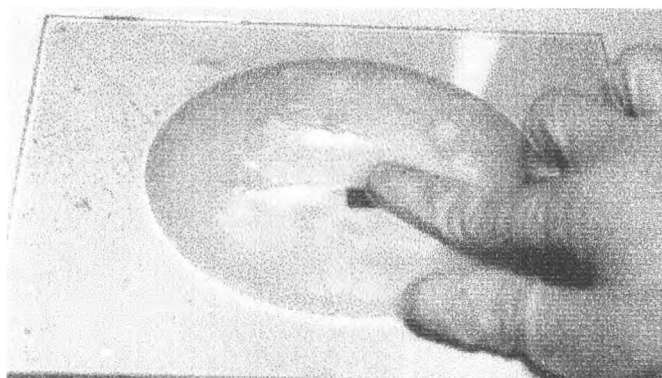
สารกึ่งตัวนำผลึกเอกพันธุ์ CuInSe<sub>2</sub> ที่ใช้ในงานวิจัยนี้เป็นสารกึ่งตัวนำที่มีการนำไฟฟ้าเป็นชนิด p มีสภาพความต้านทานไฟฟ้าสูงและอยู่ในรูปของผลึกเอกพันธุ์ (single crystal) ที่ได้จากการปลูกผลึกแบบแข็งตัวตามแนวยาว (directional freezing)<sup>15</sup> จากนั้นนำผลึกที่ได้มาตัดด้วยเครื่องตัดผลึก (string saw) ให้มีความหนาประมาณ 1 มิลลิเมตรเพื่อใช้เป็นฐาน ผลึกที่ได้นี้ต้องนำไปทำความสะอาดเพื่อเอาเศษเทียนและไขมันที่ติดอยู่ออกด้วยน้ำยาล้างจาน แล้วจึงนำไปขัดด้วยกระดาษทรายน้ำเบอร์ 800 และ 1200 ตามลำดับเพื่อให้ผลึกมีความเรียบและมีระนาบของผลึกในแนวเดียวกันและพร้อมสำหรับการเตรียมชั้นฟิล์มในขั้นตอนต่อไป



รูปที่ 5.1 แสดงเครื่องมือที่ใช้ตัดผลึก CuInSe<sub>2</sub>

## 2. การเตรียมผิวหน้า

การเตรียมผิวหน้าของสารกึ่งตัวนำ  $\text{CuInSe}_2$  จะต้องทำการเตรียมทั้งสองด้านของผิว ซึ่งด้านหนึ่งจะเป็นด้านของขั้วไฟฟ้า และอีกด้านจะเป็นส่วนที่ทำเป็นรอยต่อกับฟิล์มบางสารกึ่งตัวนำชนิดอื่น ขั้นตอนในการเตรียมผิวหน้านี้เป็นส่วนสำคัญ เพราะจะเป็นการลดผลที่อันอาจให้เกิดความบกพร่องที่รอยต่อ โดยการขัด ด้วยผงขัดอะลูมินา ขนาด 1 , 0.5 และ 0.1 ไมครอน บนกระดาษกรอง และกระดาษเคคาโรส ตามลำดับ



รูปที่ 5.2 ผลึกที่ขัดด้วยผงขัดอะลูมินาบนกระดาษกรอง

ผลึกจะถูกขัดจนมีความเรียบมากที่สุด โดยสังเกตจากความเงาที่เกิดขึ้นและไม่เห็นริ้วรอยขีดข่วนหรือรอยแยกเมื่อมองผ่านกล้องจุลทรรศน์ ผลึกที่ได้ขัดเตรียมไว้แล้วนี้ยังมีคราบของไขมันติดอยู่ ดังนั้นจึงต้องนำผลึกนี้ไปล้างด้วยสารละลายล้างไขมัน ไตรคลอโรเอธิลีน (Trichloroethelene หรือ TCE) ตามด้วย อะซีโตน (Acetone) และ เมธานอล (Methanal) ตามลำดับด้วยเครื่องล้างอุลตราโซนิก ขั้นตอนละ 3 นาที จากนั้นล้างด้วยน้ำดีไอออไนซ์ หลาย ๆ ครั้งจนแน่ใจว่าสะอาดพอแล้วจึงเป่าให้แห้งด้วยก๊าซไนโตรเจน แล้วดำเนินขั้นตอนการเปิดผิวหน้าผลึกต่อไป

### 3. การกำจัดความบกพร่องที่ผิวหน้าของชั้นผลึกสารกึ่งตัวนำ $\text{CuInSe}_2$

โดยทั่วไป การขัดผิวของผลึกจะทำให้เกิดความบกพร่องของโครงสร้างในรูปของความเค้นที่เหลือจากแรงขัด (Residual strain) ความบกพร่องในส่วนนี้จะต้องกำจัดออกโดยการกัดด้วยสารเคมี การกำจัดความบกพร่องที่ผิวหน้านั้นจะมีวิธีการทำเป็น 2 ส่วน คือ ในส่วนของทางด้านสารกึ่งตัวนำที่จะทำเป็นรอยต่อกับขั้วโลหะ และอีกส่วนเป็นด้านของสารกึ่งตัวนำที่จะทำรอยต่อกับชั้นฟิล์มบางกับสารกึ่งตัวนำอื่น

#### 3.1 การกำจัดความบกพร่องที่ผิวหน้า ทางด้านสารกึ่งตัวนำกับรอยต่อขั้วโลหะ

เนื่องจากเมื่อมีการประกบกันระหว่างโลหะกับสารกึ่งตัวนำ ผลของรอยต่อนี้จะทำให้เกิดความต้านทานสูง แสดงผลขัดขวางการไหลของกระแสไฟฟ้า ดังนั้นจึงต้องมีการลดผลนั้นด้วยการทำเอ็ตซิ่ง (Etching) ด้วย สารละลายกรดกัดทองซึ่งเป็นส่วนผสมระหว่าง  $\text{HCl} + \text{HNO}_3$  ในอัตราส่วน 3:1 ด้วยความเข้มข้น 50% โดยนำผลึกแช่ในสารละลายกรดที่เตรียมไว้ประมาณ 2-3 นาที จากนั้นนำขึ้นมาล้างด้วยน้ำดีไอออไนซ์หลาย ๆ ครั้ง แล้วเป่าให้แห้งด้วย ก๊าซไนโตรเจน ผลึกที่ได้จะพร้อมสำหรับทำขั้วทองต่อไป

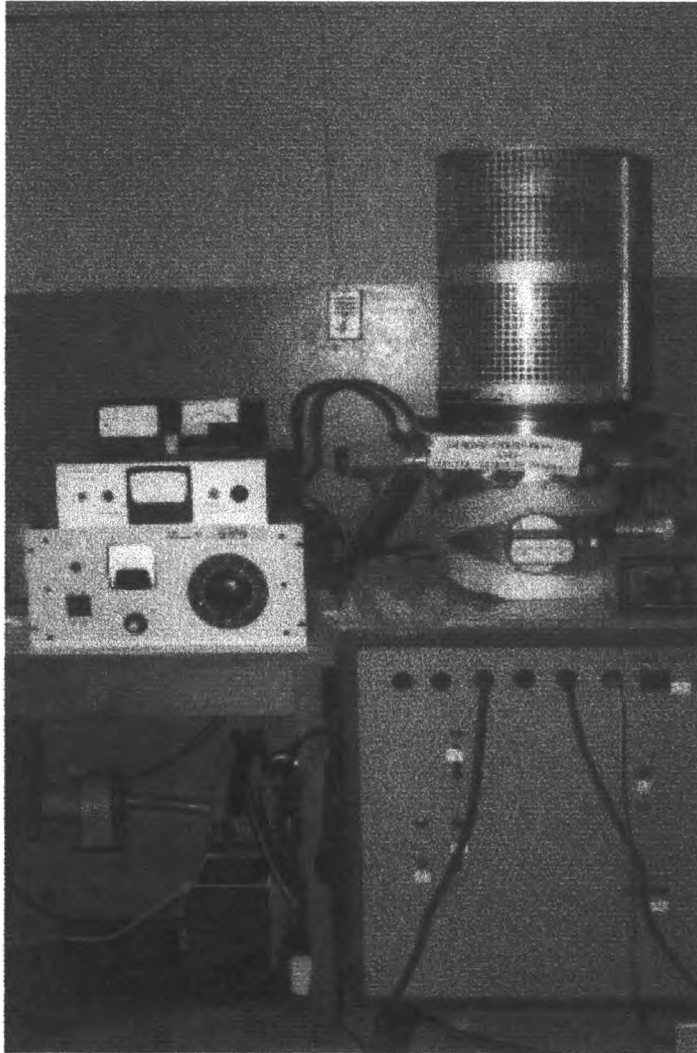
#### 3.2 การกำจัดความบกพร่องที่ผิวหน้าสารกึ่งตัวนำสำหรับเป็นรอยต่อกับชั้นของฟิล์มบางสารกึ่งตัวนำอื่น

เนื่องจากการขัดผลึกในขั้นตอนที่กล่าวมาแล้วข้างต้นนั้นถึงแม้ผลึกที่ได้จะมีผิวเรียบและสะอาดก็ตามแต่ก็ยังไม่เพียงพอ เพราะผลึกสารกึ่งตัวนำนั้นยังมี

บางส่วนที่ไม่เรียบ และผิวหน้ายังไม่พร้อมที่จะยึดเกาะกับสารกึ่งตัวนำในขั้นต่อไป อาจจะเป็นผลทำให้รอยต่อที่ได้ไม่สมบูรณ์ ดังนั้นจึงต้องมีการกัดผิวหน้าของสารกึ่งตัวนำด้วยสารละลายเคมี โบรมีนเมทานอล ( $\text{Br} + \text{Methanol}$ ) ซึ่งได้จากการผสมระหว่างสารละลายเคมีโบรมีนกับเมทานอล ในอัตราส่วนโบรมีน 0.5 ซม' กับ เมทานอล 100 ซม' จะได้สารละลายกรดสีส้ม จากนั้นนำผลึกจุ่มลงในสารละลายกรดที่เตรียมไว้เป็นเวลา 1 นาที นำขึ้นมาล้างด้วยสารละลายเมทานอลเพื่อล้างโบรมีนออกให้หมด จากนั้นล้างด้วยน้ำดีไอออไนซ์หลาย ๆ ครั้ง จนแน่ใจว่าสะอาดดีแล้วจึงนำไปเป่าให้แห้งด้วยก๊าซไนโตรเจน เพื่อเตรียมขั้นตอนต่อไป

#### 4. การเตรียมขั้วโลหะทองด้านโอห์มิก

โครงสร้างอุปกรณ์ที่จะทำขึ้นจำเป็นต้องมีขั้วโลหะเพื่อใช้ในการวัดสมบัติต่าง ๆ ทางไฟฟ้า ขั้วโลหะอาจทำขึ้นจากการเคลือบผิวหน้าสารกึ่งตัวนำด้วยโลหะที่นำไฟฟ้าได้ดี และไม่ทำให้เกิดรอยต่อที่ต้านการไหลของกระแส (blocking contact) สำหรับสารกึ่งตัวนำ  $\text{CuInSe}_2$  ชนิด p ขั้วโลหะดังกล่าวนี้คือทอง ซึ่งการเตรียมขั้วทองนี้จะทำการเคลือบด้วยกระบวนการระเหยในระบบสุญญากาศ ระบบสุญญากาศที่ใช้ในการระเหยทองนั้นแสดงดังรูป



รูปที่ 5.3 แสดงระบบสุญญากาศที่ใช้ในการระเหยทอง

ความหนาของทองที่ต้องการสำหรับขั้วด้าน โห้หมักนั้นประมาณ  $2,000-2,500 \text{ \AA}$

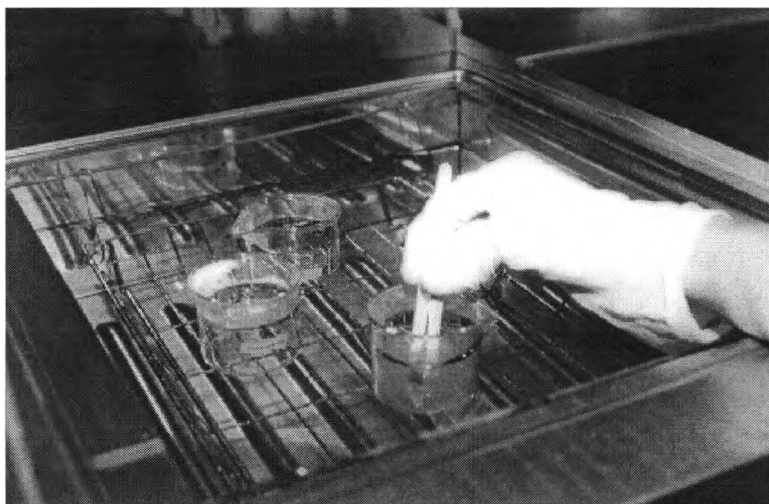


## 5. การเตรียมฟิล์มบางชั้นต่าง ๆ

หลังจากการเตรียมขั้วโลหะด้านไอหมึกที่เป็นรอยต่อที่มีความต้านทานต่ำระหว่างสารกึ่งตัวนำกับโลหะทองแล้ว และผิวอีกด้านหนึ่งได้ทำการกำจัดความบกพร่องที่ผิวหน้าด้วยสารละลายกรดโบรมีน+เมธานอลเรียบร้อยแล้ว นำมาเตรียมรอยต่อฟิล์มบางตามลำดับต่อไปนี้

### 5.1 การเตรียมชั้นฟิล์มบางของ CdS

การเตรียมชั้นของฟิล์มบาง CdS ที่เป็นรอยต่อกับผิวหน้าสารกึ่งตัวนำในงานวิจัยนี้จะใช้กระบวนการเรียกว่า การอบเคลือบด้วยสารเคมี (Chemical bath deposition process) ซึ่งเป็นการทำให้เกิดปฏิกิริยาเคมีระหว่าง สารละลาย  $\text{CdSO}_4$  ความเข้มข้น 5 mM , Thiourea ( $\text{CHN}_2\text{S}$ ) ความเข้มข้น 0.5 M และ  $\text{NH}_3$  ความเข้มข้น 2.5 M ทำการจุ่มสารกึ่งตัวนำ  $\text{CuInSe}_2$  ที่เป็นฐานของรอยต่อในสารละลายผสม  $\text{CdSO}_4$  15  $\text{cm}^3$  กับ  $\text{NH}_3$  20  $\text{cm}^3$  แล้วนำไปแช่ในอ่างทำความร้อนจนสารละลายผสมมีอุณหภูมิถึง 60 °C จากนั้นผสมสารละลาย Thiourea ที่มีอุณหภูมิ 60 °C เข้ากับสารละลายผสม  $\text{CdSO}_4 + \text{NH}_3$  จะปรากฏตะกอน CdS ที่มีลักษณะสีเหลือง เคลือบติดกับสารกึ่งตัวนำ  $\text{CuInSe}_2$  ที่เป็นฐานรองรับ การเคลือบใช้เวลา 90 วินาที จากนั้นนำชิ้นสารกึ่งตัวนำ  $\text{CuInSe}_2$  มาล้างด้วยน้ำดีไอออไนซ์หลาย ๆ ครั้งไม่ให้มีคราบของผง CdS ติดอยู่ เป่าให้แห้งด้วยก๊าซไนโตรเจน แล้วทำการเคลือบซ้ำอีก 60 วินาทีด้วยสารละลายผสมชุดใหม่ จะได้ผลึกที่มีสีน้ำตาลเข้ม และมีความหนาของชั้น CdS นี้ประมาณ 750 Å



รูปที่ 5.4 แสดงระบบที่ใช้ในการเตรียมชั้นฟิล์มบาง CdS

## 5.2 การเตรียมชั้นฟิล์มบาง ZnO<sup>16</sup>

การเตรียมชั้นของฟิล์มบาง ZnO นี้จะทำการเตรียมชั้นฟิล์มต่อจากชั้นของ CdS ซึ่งจะใช้กระบวนการที่เรียกว่า อาร์เอฟ แมกนีตรอน สปีดเตอริง ซึ่งได้มีการพัฒนาให้เป็นฟิล์มบางโปร่งแสงและใช้เป็นหน้าต่างของโครงสร้างเซลล์แสงอาทิตย์ และมีสภาพการนำไฟฟ้าที่ดี การเคลือบฟิล์มใช้เวลา 30 นาที ที่กำลัง 75 วัตต์ ความดันอาร์กอน  $8 \times 10^{-3}$  mbar โดยการติควัสดุที่เป็นฐานรองรับวางตั้งฉากกับเป้าจะได้ฟิล์ม ZnO ที่มีความหนา  $2.7 \times 10^{-5}$  cm และมีค่าสภาพความต้านทาน  $1.5 \times 10^{-3}$   $\Omega$ -cm

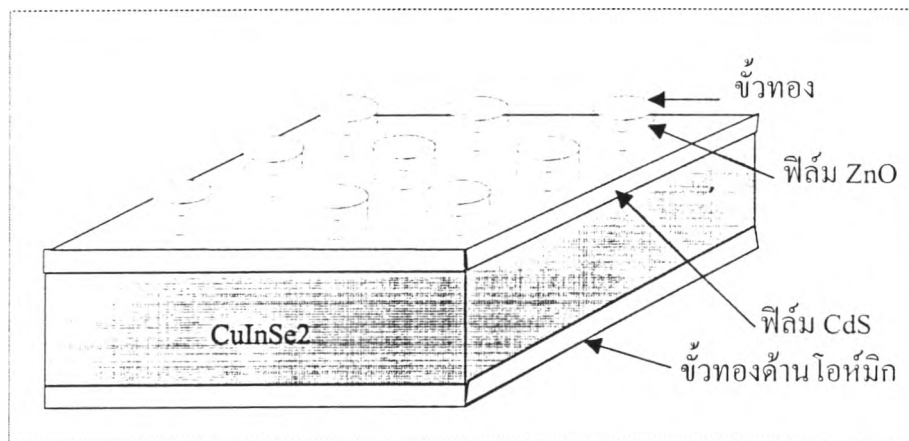
## 6. การทำขั้วทองเพื่อใช้เป็นขั้วของรอยต่อทางด้านเกท

การทำขั้วทองที่เป็นเกตนี้จะทำการเตรียมเช่นเดียวกับการทำขั้วที่ด้านโหนดด้วย กระบวนการระเหยในระบบสุญญากาศ โดยจะทำการระเหยทองเป็นวง

กลมเล็กเส้นผ่านศูนย์กลาง 1 mm. จะใช้ความหนาประมาณ 1,000-1,200 Å ประกบทับทางด้านบนของชั้นฟิล์ม ZnO

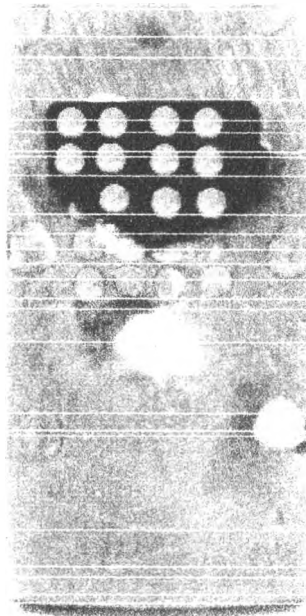
## 7. การทำ Mesa etching

เมื่อทำการเตรียมโครงสร้างรอยต่อวิวิธพันธุ์ตามที่กล่าวมาแล้วข้างต้น ต้องมีการแยกให้มีลักษณะเป็นอุปกรณ์หลาย ๆ ตัวบนชิ้นสารกึ่งตัวนำชิ้นเดียว ดังนั้นจึงต้องทำการกัดเอา ZnO ออก โดยแช่ ชิ้นสารกึ่งตัวนำที่มีรอยต่อที่ทำได้ตามขั้นตอนข้างต้นในกรด HCl ความเข้มข้น 0.25 % เป็นเวลาประมาณ 1 นาที ซึ่งจะทำให้ฟิล์มบางของ ZnO ที่ไม่มีทองประกบทับอยู่ด้านบนจะหลุดออกไป โครงสร้างที่ได้มีลักษณะดังภาพ



รูปที่ 5.5 แสดงโครงสร้างรอยต่อวิวิธพันธุ์ ZnO/CdS/CuInSe<sub>2</sub> ที่ทำขึ้นเมื่อเสร็จสมบูรณ์





รูปที่ 5.6 ชิปรอยต่อวิวิธพันธุ์ที่ใช้ในงานวิจัยนี้

นำโครงสร้างรอยต่อวิวิธพันธุ์ที่ได้ทำการเตรียมเสร็จสมบูรณ์ตามขั้นตอนที่กล่าวมาแล้วมาทำการติดตั้งลงบนแผ่นทองแดงเพื่อใช้ในการวัดลักษณะทางไฟฟ้าของรอยต่อต่อไป

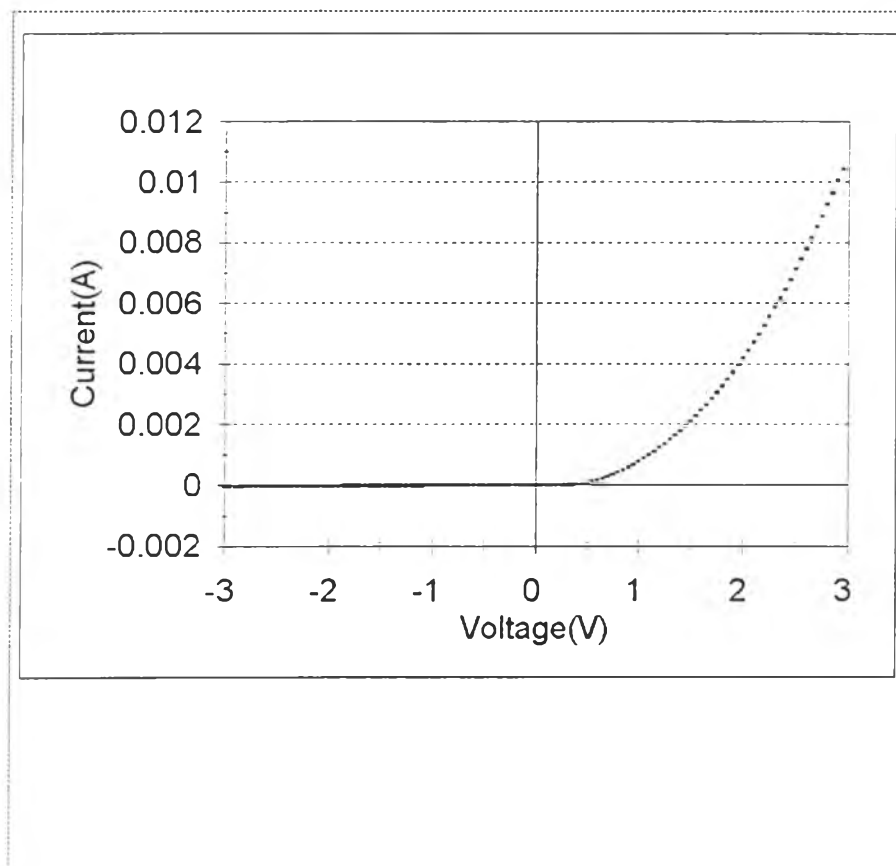
#### การวัดคุณลักษณะเฉพาะกระแส-ความต่างศักย์

การวัดลักษณะเฉพาะกระแส-ความต่างศักย์ของรอยต่อวิวิธพันธุ์ เป็นวิธีการที่ใช้ในการตรวจสอบลักษณะของรอยต่อว่ามีลักษณะการนำกระแสคล้ายกับการนำกระแสของไดโอดที่ดีหรือไม่ ซึ่งในงานวิจัยนี้ได้ทำการวัดด้วยระบบวัดและเก็บข้อมูลด้วยคอมพิวเตอร์แสดงดังภาพ



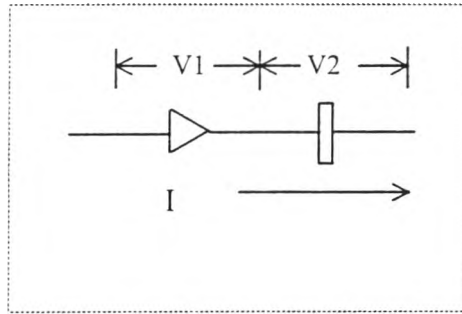
รูปที่ 5.7 แสดงระบบวัดลักษณะเฉพาะกระแส-ความต่างศักย์ที่ควบคุมด้วยคอมพิวเตอร์

ในการวัดลักษณะเฉพาะกระแส-ความต่างศักย์ครั้งนี้ ทำการวัดเพื่อหาชุดของรอยต่อที่ดีและเหมาะสมที่จะใช้ในการวัดหาลักษณะเฉพาะความจุไฟฟ้า-ความต่างศักย์ต่อไป ซึ่งลักษณะเฉพาะกระแส-ความต่างศักย์ที่ดีจะแสดงการเรียงกระแสแบบไดโอดคือจะนำกระแสเมื่อมีการไบแอสตรงและไม่นำกระแส และมีค่ากระแสรั่วไหลน้อยเมื่อมีการไบแอสกลับ ผลของการวัดลักษณะเฉพาะกระแส-ความต่างศักย์แสดงได้ดังรูปที่ 5.8



รูปที่ 5.8 แสดงการนำกระแสแบบไดโอดของรอยต่อวิวิธพันธุ์ ZnO(Al)/CdS/CuInSe<sub>2</sub>

ซึ่งจากกราฟลักษณะความสัมพันธ์นี้ พบว่าการนำกระแสของรอยต่อวิวิธพันธุ์ ZnO(Al)/CdS/CuInSe<sub>2</sub> แสดงสมบัติของการเรียงกระแสดอย่างชัดเจน จะมีการยอมให้กระแสไหลผ่านได้สะดวกในด้านไปแสดตรงและมีการกั้นกระแสไม่ให้ไหลในด้านไปแสดกลับ ซึ่งการนำกระแสที่เกิดขึ้นไม่ได้เป็นเพียงการนำกระแสแบบไดโอดเพียงอย่างเดียว เนื่องจากตามลักษณะโครงสร้างของรอยต่อ ที่มีชั้นของ CdS ที่มีลักษณะเป็นฉนวนบางกั้นอยู่ ดังนั้นการนำกระแสที่เกิดขึ้นจึงมีขบวนการนำกระแสที่อาจเกิดจากการทะลุผ่านชั้นฉนวนนี้เกิดขึ้นด้วย ลักษณะการนำกระแสอธิบายได้ดังรูปที่ 5.9



รูปที่ 5.9 ภาพแสดงการนำกระแสของรอยต่อวิวิธพันธุ์ผ่านชั้นต่าง ๆ

เราสามารถแสดงการนำของกระแสที่เป็นลักษณะการนำของไดโอดตามความสัมพันธ์ดังนี้<sup>1</sup>

$$I = I_0 \left[ \exp\left(\frac{qV_1}{nkT}\right) - 1 \right] \quad (5.1)$$

เมื่อ	$I$	ค่ากระแสที่ไหลในวงจร
	$I_0$	ค่ากระแสอิ่มตัวของรอยต่อ
	$V_1$	ค่าศักย์ไฟฟ้าที่ตกคร่อมไดโอด
	$n$	ค่าตัวแปรอุดมคติของไดโอด (ideality factor)
	$q$	ประจุ
	$kT$	ค่าพลังงานความร้อน (thermal energy)

การนำกระแสในโครงสร้าง MIS แบบอุดมคตินั้น จะไม่มีกระแสไหลผ่านชั้นฉนวนเมื่อฉนวนนั้นเป็นฉนวนอย่างแท้จริง การนำของพาหะจะเกิดขึ้นก็ต่อเมื่อ

ระบบมีสนามไฟฟ้าหรืออุณหภูมิที่สูงอย่างเพียงพอ ค่าของสนามไฟฟ้าในฉนวนภายใต้การไบแอสที่ได้จากกฎของเกาส์

$$Q_s = -\epsilon_s \epsilon'_s$$

และ

$$V_i = \epsilon'_i d = \frac{|Q_s|d}{\epsilon_i}$$

จะได้

$$\epsilon'_i = \epsilon'_s \left( \frac{\epsilon_s}{\epsilon_i} \right)$$

เมื่อ  $\epsilon'_i, \epsilon'_s$  คือสนามไฟฟ้าในฉนวนและสารกึ่งตัวนำ

$\epsilon_i, \epsilon_s$  คือค่า permittivities ของฉนวนและสารกึ่งตัวนำ

ในโครงสร้างนี้ CdS เป็นชั้นที่มีความต้านทานสูงจึงเสมือนกับเป็นชั้นของฉนวน การนำกระแสผ่านชั้นของ CdS จึงต้องใช้สนามที่สูงมากและขบวนการการขนส่งพาหะที่เกิดขึ้นจะเป็นการทะลุ-ปลดปล่อย (tunnel emission) เนื่องมาจากการไอออไนซ์สนามของอิเล็กตรอนที่ถูกดักไว้ไปยังแถบนำพลังงาน หรือโดยการทะลุของอิเล็กตรอนจากระดับพลังงานเฟอร์มีของโลหะไปยังแถบนำพลังงานของฉนวน การทะลุ-ปลดปล่อยจะขึ้นอยู่กับศักย์ที่ไบแอสและไม่ขึ้นกับอุณหภูมิ

ความสัมพันธ์ของกระแสและสนามเนื่องมาจากขบวนการทะลุ-ปลดปล่อยในชั้นฉนวนแสดงดังนี้<sup>1</sup>

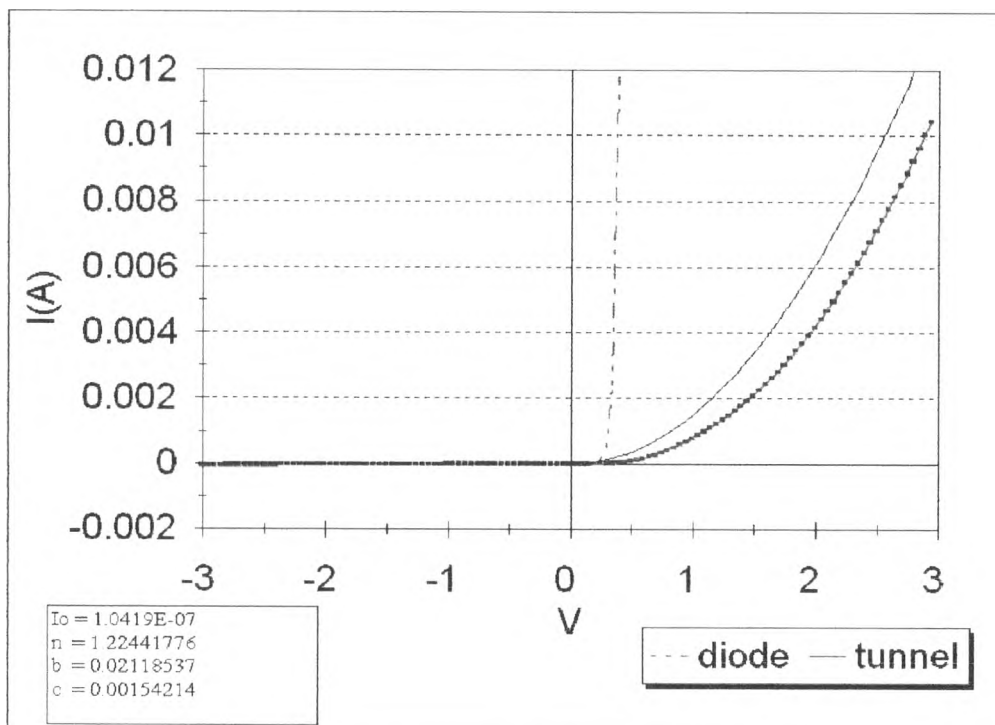
$$I \sim \epsilon'^2 \exp \left[ -\frac{4\sqrt{2m^*} (q\phi_B)^{3/2}}{3qhE} \right]$$

ความสัมพันธ์ของกระแสกับความต่างศักย์

$$I = cV_2^2 \exp\left(\frac{-b}{V_2}\right) \quad (5.2)$$

เมื่อ	V	ค่าศักย์ที่ทำการไบแอสให้แก่วงจร
	$V_2$	ค่าศักย์ไฟฟ้าที่ตกคร่อมชั้นของ CdS
	c, b	ค่าคงที่ของการทะลุผ่าน

จากความสัมพันธ์ตามสมการที่ (5.1) และ(5.2) จะได้ลักษณะของความสัมพันธักระแส-ความต่างศักย์ ที่แยกตามสมการ เมื่อ  $V = V_1 + V_2$



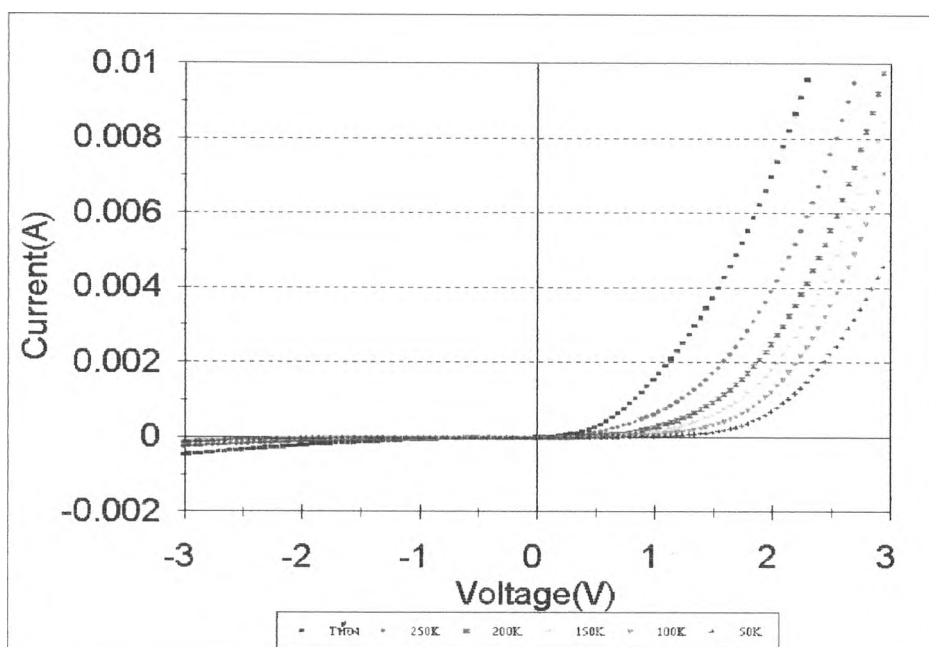
รูปที่ 5.10 แสดงลักษณะของกระแส-ความต่างศักย์แยกตามสมการ

จากสมการที่ (5.1) แสดงความสัมพันธ์ของกระแสที่เป็นการนำแบบไดโอด และสมการที่ (5.2) แสดงกระแสที่ทะลุผ่านชั้นของฉนวน

โดยรอยต่อวิวิธพันธุ์ที่เตรียมได้นี้ จะมีค่าตัวแปรอุณหพลศาสตร์ของไดโอดเท่ากับ 1.22 และมีค่ากระแสอิ่มตัวของรอยต่อเท่ากับ  $1.042 \times 10^{-7}$  แอมป์

### การวัดคุณลักษณะเฉพาะกระแส-ความต่างศักย์ที่อุณหภูมิต่ำ

นำรอยต่อนี้ไปวัดที่อุณหภูมิต่าง ๆ โดยการติดตั้งระบบการวัดเข้ากับระบบทำความเย็น พบว่าความสัมพันธ์ของกระแส-ความต่างศักย์ที่ได้มีลักษณะที่เปลี่ยนไปกับอุณหภูมิอย่างชัดเจนแสดงดังรูปที่ 5.11



รูปที่ 5.11 แสดงการนำกระแสของรอยต่อวิวิธพันธุ์ที่อุณหภูมิต่าง ๆ

จากสมการความสัมพันธ์ ตามสมการที่ (1)และ(2) กับข้อมูลที่วัดได้ดังกล่าวข้างต้น เมื่อนำไปหาค่าพารามิเตอร์ที่สอดคล้องกับรูปแบบสมการและข้อมูลการวัดจะเห็นความสัมพันธ์ของพารามิเตอร์ต่าง ๆ เปลี่ยนกับอุณหภูมิ ข้อมูลของพารามิเตอร์ที่ได้จากการฟิตนี้แสดงดังตารางที่ 5.1

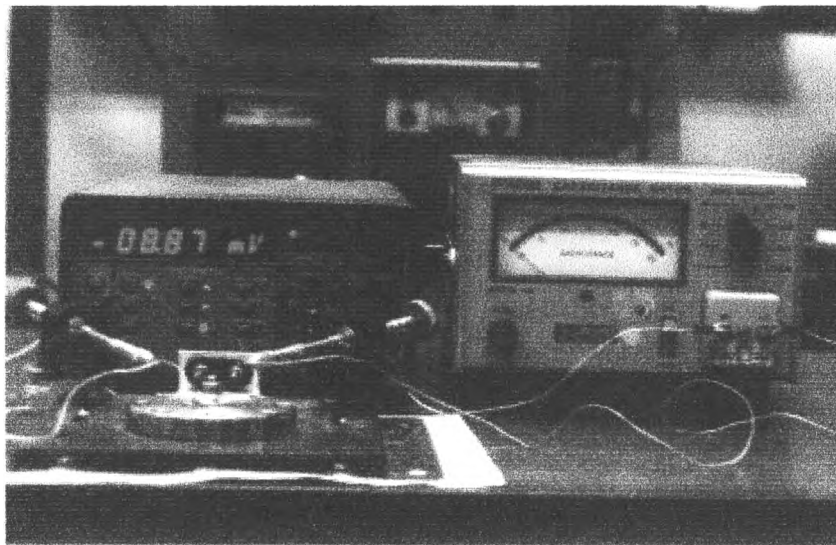
อุณหภูมิ(K)	n	$I_0(A)$	c	b
ห้อง(300)	1.5	$7.3 \times 10^{-5}$	0.0026	0.17
250	1.8	$9.3 \times 10^{-6}$	0.0019	0.42
200	2.2	$4.6 \times 10^{-6}$	0.0017	0.98
150	2.69	$1.9 \times 10^{-6}$	0.002	1.68
100	3.11	$1.2 \times 10^{-6}$	0.0023	2.57
50	4.05	$1.8 \times 10^{-7}$	0.002	3.93

ตารางที่ 5.1 แสดงค่าของพารามิเตอร์ที่ได้จากการฟิตข้อมูลที่ทำการวัดที่อุณหภูมิต่าง ๆ

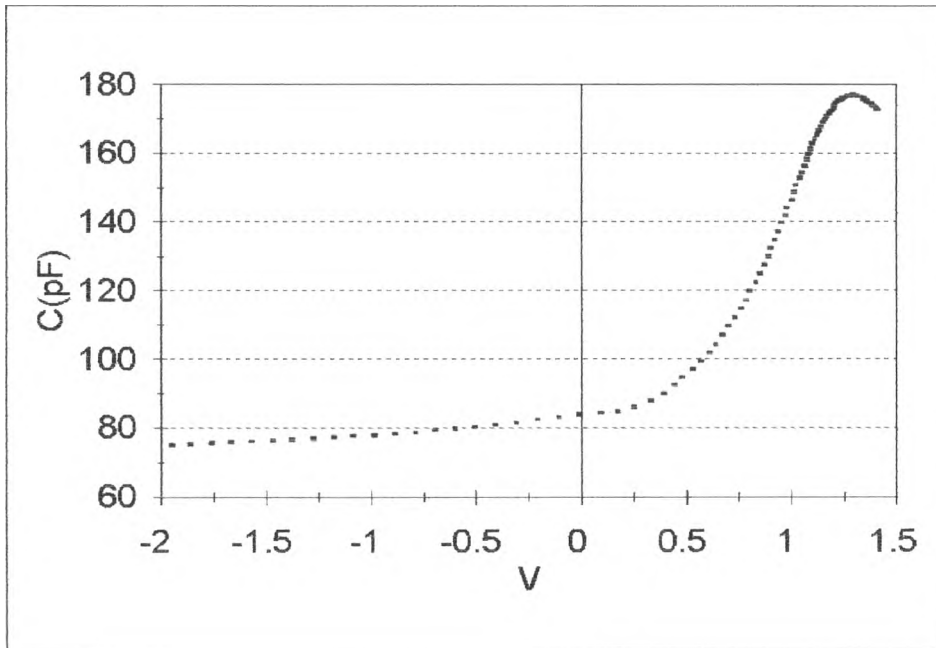


### การวัดลักษณะความจุไฟฟ้า-ความต่างศักย์

การวัดลักษณะ ความจุไฟฟ้า-ความต่างศักย์ของรอยต่อวิวิธพันธุ์เป็นวิธีที่นิยมใช้ในการศึกษาสมบัติของรอยต่อ เพื่อนำไปคำนวณหาค่าขนาดของช่วงดีฟิชั่น, ค่าความจุของฉนวนและนำไปอธิบายลักษณะการโค้งของแถบพลังงานที่ผิวรอยต่อ ในงานวิจัยนี้ได้ทำการวัดลักษณะ ความจุไฟฟ้า-ความต่างศักย์ของรอยต่อวิวิธพันธุ์ที่ได้ผ่านการตรวจสอบโดยการวัดลักษณะเฉพาะกระแส-ความต่างศักย์ ว่ามีลักษณะการนำกระแสแบบไดโอดที่ดี มีกระแสรั่วไหลน้อย การวัดลักษณะเฉพาะความจุไฟฟ้า-ความต่างศักย์ได้ใช้เครื่องวัดค่าความจุ Boonton 72A ความถี่ 1 MHz ทำการวัดทั้งการไบแอสตรงและไบแอสกลับ ผลของการวัดแสดงดังรูปที่ 5.13

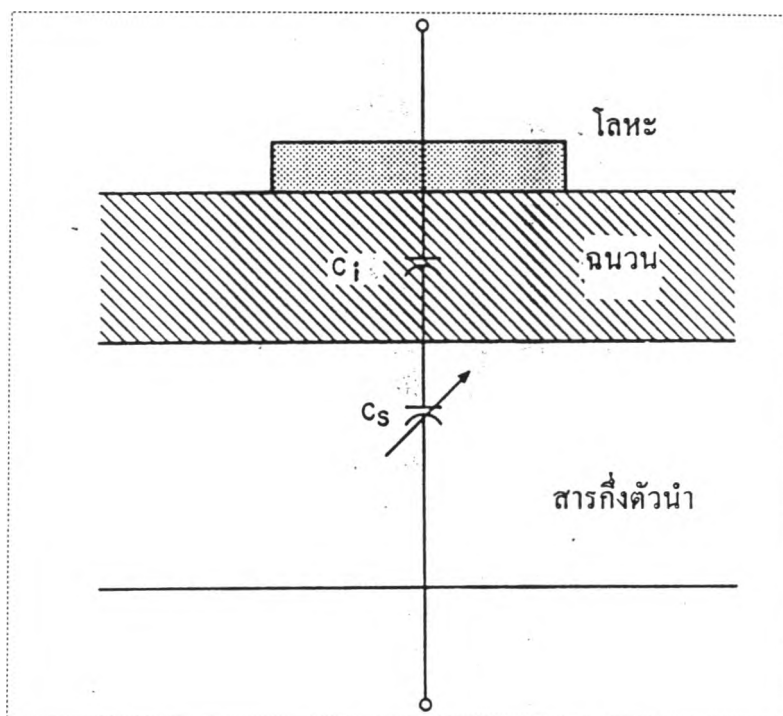


รูปที่ 5.12 แสดงระบบวัดลักษณะเฉพาะความจุ-ความต่างศักย์



รูปที่ 5.13 แสดงลักษณะเฉพาะของความจุไฟฟ้า-ความต่างศักย์ของรอยต่อวิวิธพันธุ์ ZnO(Al)/CdS/CuInSe<sub>2</sub>

จากลักษณะเฉพาะของความจุไฟฟ้า-ความต่างศักย์ที่ได้ พบว่าโครงสร้างของรอยต่อวิวิธพันธุ์ ZnO/CdS/CuInSe<sub>2</sub> มีลักษณะเช่นเดียวกับรอยต่อโลหะ-ฉนวน-สารกึ่งตัวนำ (MIS) เนื่องจาก ZnO มีความต้านทานต่ำมากเสมือนเป็นโลหะ และ CdS ซึ่งเป็นชั้นบัฟเฟอร์นั้นมีค่าความต้านทานสูงเสมือนเป็นฉนวน ที่การไบแอสตรงที่ขั้วเกตเป็นบวก ขบวนการที่เกิดขึ้นเป็นขบวนการแอกติวูเลชันของโฮลเป็นผลทำให้ค่าความจุรวมของระบบจะมีค่าเข้าใกล้ค่าคงที่ ซึ่งค่าคงที่นั้นเป็นค่าความจุของฉนวนในโครงสร้าง ลักษณะของโครงสร้างโลหะ-ฉนวน-สารกึ่งตัวนำนี้สามารถอธิบายในรูปของวงจรเสมือนที่มีตัวเก็บประจุต่ออนุกรมที่ชั้นของโครงสร้างแสดงดังรูปที่ 5.14



รูปที่ 5.14 แสดงวงจรตัวเก็บประจุที่ต่ออนุกรมกันภายในชั้นของโครงสร้าง<sup>2</sup>

จากรูปที่ 5.14 แสดงวงจรตัวเก็บประจุที่เกิดขึ้นที่ชั้นฉนวน  $CdS$  ( $C_i$ ) กับตัวเก็บประจุที่เกิดขึ้นที่ชั้นของสารกึ่งตัวนำ  $CuInSe_2$  ( $C_s$ ) ที่ต่ออนุกรมกันอยู่ภายในโครงสร้างของรอยต่อ ดังนั้นความสัมพันธ์ของความจุที่เกิดขึ้นที่รอยต่อในลักษณะ โลหะ-ฉนวน-สารกึ่งตัวนำนี้จึงเป็น<sup>2</sup>

$$\frac{1}{C} = \frac{1}{C_i} + \frac{1}{C_s} \quad (5.3)$$

- $C$  คือค่าความจุรวมของรอยต่อวิธีพื้นที่ต่อหน่วยพื้นที่ที่วัดได้
- $C_i$  คือค่าความจุที่เกิดจากชั้นฉนวน
- $C_s$  คือค่าความจุที่เกิดจากชั้นดีพลีชันในสารกึ่งตัวนำ

สมการที่ 5.3 แสดงถึงความจุรวมของรอยต่อวิวิธพันธุ์ที่วัดได้ต่อพื้นที่เป็นลักษณะของตัวเก็บประจุที่ต่ออนุกรมของตัวเก็บประจุในชั้นฉนวนและตัวเก็บประจุในชั้นสารกึ่งตัวนำ ค่าความจุในชั้นของฉนวนนั้นเป็นค่าคงที่และสอดคล้องกับค่าความจุสูงสุดของระบบ และตัวเก็บในชั้นของสารกึ่งตัวนำนี้จะมีค่าแปรเปลี่ยนไปตามลักษณะของการไบแอส

เมื่อพิจารณาค่าความจุไฟฟ้าที่การไบแอสกลับ หรือขณะที่ความต่างศักย์ที่ขั้วแกทมีค่าบวกเป็นกรณีที่เกิดขบวนการดิฟฟิชั่นขึ้น ค่าของความจุไฟฟ้าที่ชั้นดิฟฟิชั่นต่อหน่วยพื้นที่ นิยามไว้คือ  $C \equiv dQ_c/dV$

สำหรับรอยต่อนับพลันด้านเดียว (one-side abrupt junctions) ความจุไฟฟ้าต่อหน่วยพื้นที่จึงนิยามได้ดังนี้<sup>1</sup>

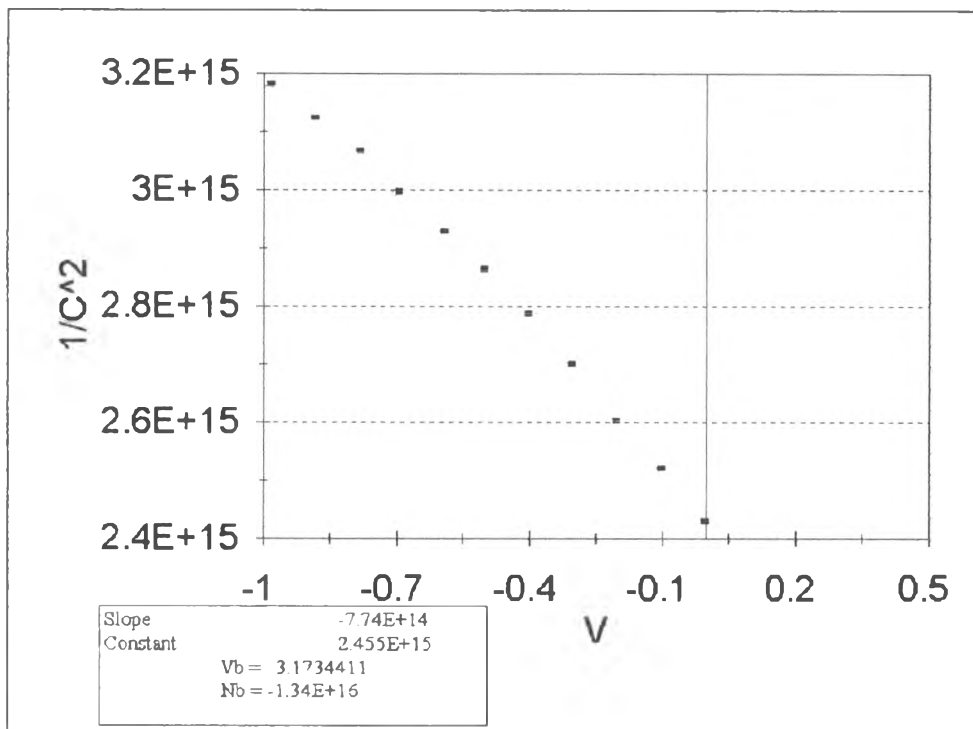
$$\begin{aligned}
 C &\equiv \frac{dQ_c}{dV} \\
 &= \frac{d(qN_B W)}{d\left[\left(\frac{qN_B}{2\epsilon_s}\right) W^2\right]} \\
 &= \frac{\epsilon_s}{W} \\
 &= \sqrt{\frac{q\epsilon_s N_B}{2}} \left(V_{bi} \pm V - \frac{2kT}{q}\right)^{-1/2} \\
 &= \frac{\epsilon_s}{\sqrt{2} L_D} (\beta V_{bi} \pm \beta V - 2)^{-1/2} \text{ F/cm}^2 \quad (5.4)
 \end{aligned}$$

หรือ

$$\begin{aligned}
 \frac{1}{C^2} &= \frac{2L_D^2}{\epsilon_s^2} (\beta V_{bi} \pm \beta V - 2) \\
 \frac{d(1/C^2)}{dV} &\equiv \frac{2L_D^2 \beta}{\epsilon_s^2} = \frac{2}{q\epsilon_s N_B} \quad (5.5)
 \end{aligned}$$

ข้อมูลที่ได้นำไปเขียนกราฟความสัมพันธ์ระหว่าง  $1/C_s^2$  กับ ความต่างศักย์ คำนวณค่า carrier concentration ของสารกึ่งตัวนำ CuInSe<sub>2</sub> เมื่อความชันของกราฟมีความสัมพันธ์กับ carrier concentration ตามสมการที่ (5.5) กราฟความสัมพันธ์ของ  $1/C_s^2$  กับ ความต่างศักย์ ของข้อมูลแสดงดังรูปที่ 5.15

จากความชันของกราฟความสัมพันธ์ระหว่าง  $1/C_s^2$  กับความต่างศักย์ สามารถนำมาคำนวณหาความเข้มข้นของพาหะตามสมการที่ (5.5) จะได้  $N_B = 1.3 \times 10^{16} \text{ cm}^{-3}$  และจุดตัดกราฟจะได้ built-in potential ที่มีค่าสูงถึง 3.17 V



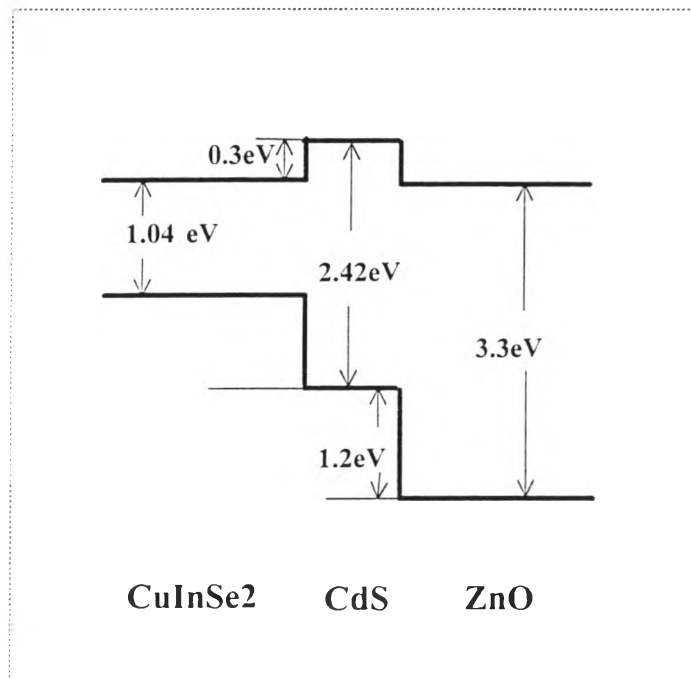
รูปที่ 5.15 แสดงความสัมพันธ์ของ  $1/C_s^2$  กับความต่างศักย์

## วิเคราะห์ผลการทดลอง

จากข้อมูลเฉพาะของสารกึ่งตัวนำในงานวิจัยนี้ และในงานของผู้อื่น<sup>6,7,8,9</sup> ที่ทำการศึกษาหา ค่าความกว้างของแถบพลังงานว่าง, ค่าพลังงานของแถบนำและแถบวาเลนซ์ เราสามารถแสดงรูปลักษณะของแถบพลังงานที่รอยต่อวิวิธพันธ์ได้แสดงดังรูปที่ 5.16 ซึ่งในงานวิจัยนี้ค่าของความกว้างของแถบพลังงานว่างของ เป็นลักษณะของ  $\text{CuInSe}_2$  มีค่าเท่ากับ 1.04 eV, ของ CdS มีค่า 2.4 eV และของ ZnO 3.3 eV จากการศึกษาคด้วย Synchrotron radiation<sup>6,8</sup> พบว่า สำหรับกรณีของรอยต่อวิวิธพันธ์ระหว่าง CdS/ $\text{p-CuInSe}_2$  ค่าของ  $\Delta E_v$  เท่ากับ 0.3 eV และ  $\Delta E_c$  เท่ากับ 1.08 eV สำหรับรอยต่อระหว่าง CdS /ZnO จะมี  $\Delta E_v$  เท่ากับ 1.2 eV

จากข้อมูลของลักษณะกระแส-ความต่างศักย์และลักษณะของความ-ความต่างศักย์ เราสามารถที่จะบอกถึงลักษณะแถบพลังงานและปรากฏการณ์ที่เกิดขึ้นในรอยต่อวิวิธพันธ์นี้ เมื่อมีการไบแอสได้ดังนี้

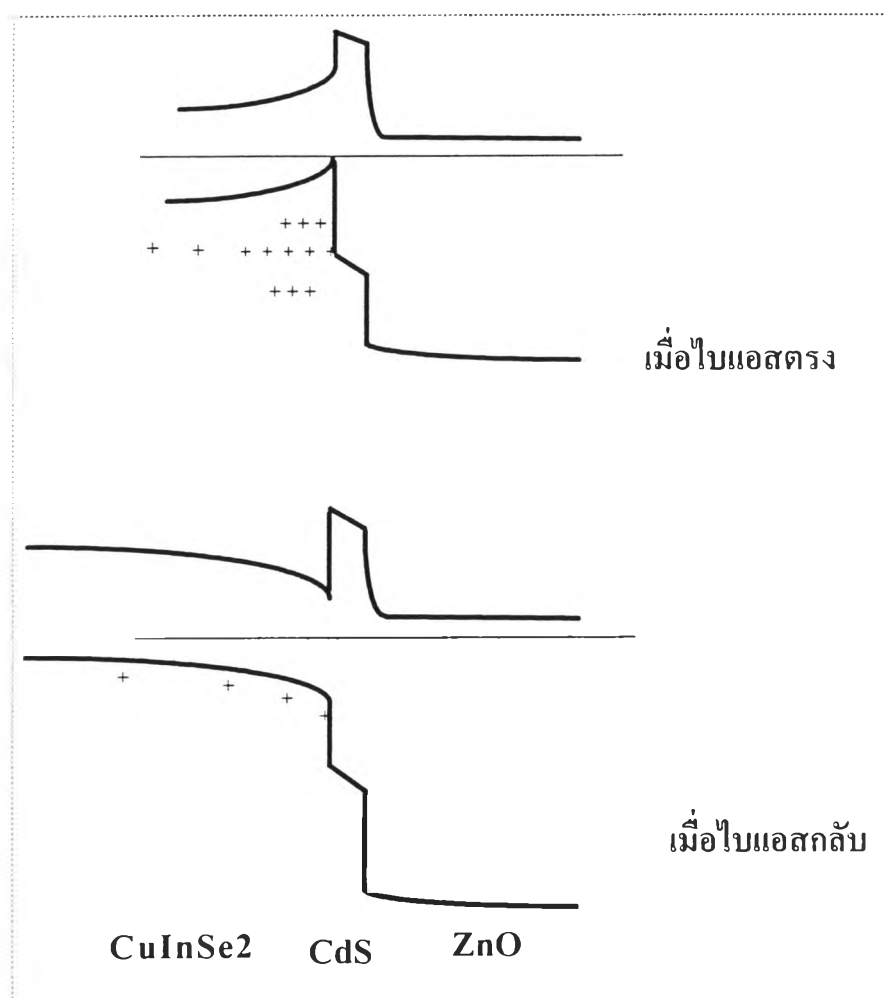
ลักษณะของแถบพลังงานที่เกิดขึ้นขณะเมื่อยังไม่มีการไบแอส  $V=0$  แถบพลังงานยังไม่มีการโค้ง เรียกว่า แถบพลังงานเรียบ (flat-band condition) ซึ่งในขณะนี้จะมีความหนาแน่นของพาหะสมำเสมอตลอดชั้นสารกึ่งตัวนำ  $\text{CuInSe}_2$  และไม่มีพาหะมาสะสมอยู่ที่บริเวณของชั้นสารกึ่งตัวนำ  $\text{CuInSe}_2$  ตรงรอยต่อกับชั้น CdS เมื่อทำการไบแอส จะมีประจุเกิดขึ้นที่บริเวณผิวหน้าของสารกึ่งตัวนำ  $\text{CuInSe}_2$  ตรงที่รอยต่อกับชั้น CdS และมีประจุตรงกันข้ามจำนวนเท่ากันเกิดขึ้นที่ชั้นของ ZnO จากการที่ชั้นของ CdS มีความต้านทานสูงมาก อาจเปรียบได้ว่าเป็นลักษณะของฉนวน จึงทำให้ไม่มีการไหลของประจุผ่านชั้น CdS การเปลี่ยนแปลงของประจุที่ผิวหน้าของสารกึ่งตัวนำ  $\text{CuInSe}_2$  ที่บริเวณรอยต่อกับ CdS จะมีลักษณะที่เกิดขึ้นตามการไบแอสดังนี้



รูปที่ 5.16 ภาพแสดงลักษณะของแถบพลังงานของรอยต่อเมื่อไม่แสดงการโค้งของแถบพลังงาน

เมื่อมีการไบแอสด้วยค่าศักย์ไฟฟ้าลบทางด้านเกต(ขั้วทองทางด้านชั้นของ ZnO) หรือเป็นการทำไบแอสตรง และเสมือนเป็นการใส่ประจุให้แก่ ZnO ทำให้ด้านบนของแถบวาเลนซ์ของ CuInSe<sub>2</sub> โค้งขึ้นเข้าใกล้ แถบพลังงานเฟอร์มิ การโค้งของแถบพลังงานนี้เนื่องมาจากมีการรวมตัวกันของพาหะข้างมากโฮลของสารกึ่งตัวนำ CuInSe<sub>2</sub> ที่มีจำนวนเท่ากับจำนวนประจุที่ทำการไบแอสมารวมกันอยู่ที่บริเวณผิวยุติกับชั้นของ CdS ขบวนการที่เกิดขึ้นนี้เรียกว่าขบวนการแอกคิวมูเลชัน เมื่อทำการไบแอสด้วยค่าโวลเตจบวกเข้าทางด้านเกต หรือเป็นการไบแอสกลับ แถบพลังงานวาเลนซ์จะโค้งลงเนื่องจากพาหะข้างมากโฮลของสารกึ่งตัวนำ CuInSe<sub>2</sub> ถูกผลักออกไป เรียกขบวนการที่เกิดขึ้นนี้ว่า ดีพลีชัน

ในขบวนการที่เกิดการแยกตัวของโฮล ที่มีการรวมตัวกันของพาหะและขณะนี้ยังไม่เกิดช่วงดีพลีชันขึ้น ดังนั้นค่าของความจุที่เกิดจากชั้นดีพลีชันในสารกึ่งตัวนำ  $C$  จึงมีค่าเท่ากับศูนย์ เพราะฉะนั้นค่าความจุรวม  $C$  จากสมการที่ (5.3) จึงมีค่าคงที่และมีค่าเท่ากับ ค่าความจุที่เกิดจากชั้นฉนวน  $C_0$  ซึ่งเป็นค่าความจุมากที่สุด เมื่อมีการไบแอสกลับให้เกิดขบวนการที่เกิดการดีพลีชันค่าความจุรวมจะมีค่าลดลงตามค่าไบแอสที่กลับที่เพิ่มขึ้น ซึ่งเกิดเนื่องจากการที่พาหะถูกผลักออกไป ทำให้ความกว้างของช่วงดีพลีชันจะมีขนาดเพิ่มขึ้น



รูปที่ 5.17 ภาพแสดงลักษณะของแถบพลังงานขณะที่ได้รับการไบแอสต่าง ๆ